

尝试合成110号元素

颜 家 骏

(中国科学院近代物理所)

摘要: 在目前的超重元素研究中, 合成110号元素是最激动人心的课题之一。本文以如何探索合成110号元素为线索, 讨论了核质量和稳定性、由实验和理论得到的启示以及尝试合成它的最新实验。

一、历史的回顾

自八十年代以来, G. Münzenber 等人先后用²⁰⁹Bi和⁵⁰Ti、⁵⁴Cr、⁵⁸Fe冷熔合的技术合成了元素105号、107号和109号, 并进行了广泛深入的研究。他们发现, 蒸发剩余物的衰变以 α 发射占优势。因此, 通过子体核的继发 α 衰变的很好确定了的遗传衰变关系就能鉴别这些新元素, 这就是所谓 α 衰变链法。众所周知, 过去的理论认为, 质子数和中子数为奇数的同位素与其相邻同位素相比, 对于裂变要稳定得多。对于偶质子数的元素而言, 奇质子数时的那种稳定性就不存在了, 并能预言存在自发裂变。104号元素的几种同位素的占优势的衰变方式就是自发裂变, 对于更重的偶Z元素甚至应该变得更加明显。事实果真如此吗?

一般来说, 核对裂变的稳定性由库仑斥力和核引力之间的关系决定。在液滴模型中, 它由易裂变参数 $X = Z^2/A$ 表示。式中的Z和A分别是核的质子数和质量数。G. T. Seaborg首先发现^[1], 随着液滴模型所预期的易裂变性的增加, 部分裂变半衰期将指数减小。双偶同位素的裂变半衰期将从U的 10^{-3} 秒减小到元素104的 10^{-2} 秒。这就是说, 每增加一个原子序数, 半衰期就平均减小两个数量级。W. J. Swiatecki证明^[2], 与上述规律的偏离可以用壳效应的稳定性来解释, 这效应可使裂变半衰期明显增加。

至于重元素对裂变稳定性的系统描述,

只有在偶偶核的情况才能有足够的精度。这是因为要想精确预期奇核的干扰因子是困难的。干扰因子与这个奇核的轨道占有情况关系密切, 其典型值为 10^6 , 但可变范围却从10到 10^{10} 。

人们在1985年前观测到的最重的偶偶核是104号元素的一些同位素。它们表现出一种不规则的行为。这就是说, 从前的实验表明锕系元素的裂变半衰期, 在靠近N=152的变形亚壳层时会明显增加。而现在的104号元素的同位素却不再遵循这种趋势。

²⁵⁸104是中子数为152的同位素。与由锕系元素从前的实验规律预期的值相比, 它的半衰期要短约四个数量级。因此, 研究106号元素的自发裂变半衰期是否也存在这种情况, 在超重元素的研究中就具有特殊的意义了。

在1985年上半年前, 对元素106的报导只限于两个奇质量数同位素的直接观测。A. Ghiorso等报导了同位素⁸³106由²⁴⁹Cf(¹⁸O, 4n)反应生成并用 α 衰变链法进行了鉴别^[3]。Druin, Sommerville等人在稍后的实验中, 用相同的靶弹组合观测了它的自发裂变, 其结果都有模棱两可之处^[4]。Oganessian, Münzenberg等人在²⁰⁸Pb和⁵⁴Cr反应中, 观测到自发裂变活性的半衰期是4到10ms, 并鉴定反应中生成了同位素²⁵⁹106^[5]。

A. G. Demin等人于1984年发表了意义重大的结果^[6]。他们观测了²⁰⁸-²⁰⁷-²⁰⁸Pb和⁵⁴Cr反应生成的自发裂变活性; 并且得出结论包括双偶同位素²⁶⁰106在内的²⁵⁹-²⁶¹106, 都

优先遭受 α 衰变，而观测到的裂变活性来自子体核 $^{255}104$ 和 $^{258}104$ 。他们得到的 $^{280}106$ 的半衰期是 $2.5 \pm 1.5\text{ms}$ ，部分裂变半衰期 $T_{sf} > 5\text{ms}$ 。这些结果与过去的实验和理论预测都是水火不相容的。

这样以来，实验核物理学家面临的任务突然明朗起来。在探索尝试合成110之前，必须直接观测 $^{258-281}106$ 、特别是 $^{280}106$ ，由此研究核质量和稳定性，从中得到重要的启示，然后才能进行充满希望的正面冲击。

二、核的质量和稳定性

在新元素的探索中，几年来人们把目光集中在 $N - Z = 48$ 的 α 衰变链的同位素上。该链上的同位素从 ^{232}U 延伸到 $^{280}106$ 。

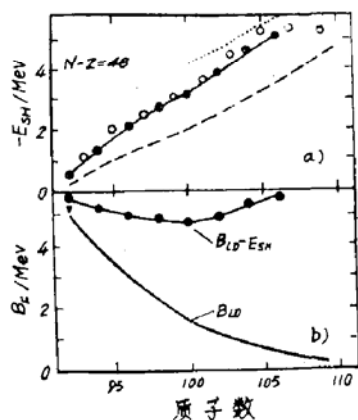


图1 核的质量和壳效应的关系

关于核质量和壳效应的实验值和理论计算值都示于图1。图1a中示出了 $N - Z = 48$ 同位素的壳效应， E_{SH} 是基态壳效应。图中黑点和圆圈分别表示双偶核和双奇核的壳效应，而参考标准是Möller-Nix质量公式中的宏观部分，如短划线所示。点线所示是S. Cwiok等人1983年的计算^[7]。图1b中的实线是根据系统性得到的液滴裂变位垒，而连接黑点的实线所示的是实验测得的裂变位垒，黑三角所示的是Björnholm等人得到的 ^{232}U 的裂变位垒高度。该图中黑点实验值都是G. Münzenberg等人1985年6月给出的^[6]。

根据Münzenberg等人的实验结果，可以

测定直到106的 $N - Z = 48$ 同位素的壳效应。这些壳修正高于预期值。对于 $^{280}106$ 这个当时发现的最重的双偶同位素，壳修正接近5 MeV。他们的实验结果表明：对于更重的元素108和110，这种壳效应并不会减小。对于靠近 $N - Z = 48$ 链的108和109号元素，在 $N = 162$ 附近的变形核的区域中，Cwiok等人已经预言有一个壳效应高的区域。而实验结果也与Cwiok等人最近的宏观计算吻合。

壳修正和液滴位垒之间的相互影响，表现在双偶同位素的裂变半衰期系统性方面，具体情况如图2所示。图中纵坐标是以秒为单

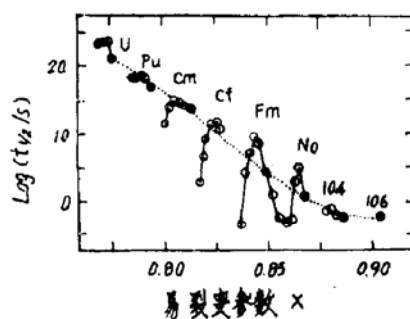


图2

位的部分裂变半衰期的对数，横坐标是Dahlinger等人给出的易裂变参数X。图中每个元素的同位素链用实线连接，而 $N - Z = 48$ 同位素如黑点所示，并用点线连接起来。

裂变半衰期和壳效应关系的分析表明：随着宏观位垒的降低裂变半衰期明显减小，这主要决定于位垒宽度，即是说超锕系核只是在薄微观位垒时才是稳定的。因此，在这个区域和超过已知元素范围的半衰期都由它们的微观位垒确定。当然由已知实验值向更重元素的情况外推是困难的。对于 $^{280}106$ 附近的同位素、也就是靠近 $N - Z = 48$ 链的108和110元素的同位素来说，我们能够预期部分裂变半衰期在ms范围。虽然我们已经测到了壳效应高并且有系统性规律，但是没有任何证据表明在比106元素更重时这种壳效应会降低。

情况也确实如此。Münzenberg等人1984

年已观测到奇质量数同位素²⁸⁵108的 α 衰变，并且也鉴别出同位素²⁸⁶109是 α 发射体^[8]。另外的证据是，Oganessian等人同年也报导了双偶同位素²⁸⁴108将经受 α 衰变^[9]。

在Münzenberg等人1985年研究²⁶⁰⁻²⁸¹106的实验结果中，最引人注目也是意义最大的结果是观测到²⁸³106的部分裂变半衰期长^[6]。²⁸⁰106是双偶同位素，这就可以用上述的基本效应急异地高来解释，这也表明在周期表上端存在一个纯壳稳定变形核的区域。从合成产生Z超过109的新元素的观点来说，研究这个性质意义重大。业已得出结论，随着核温度的增加壳效应仍能幸存，并且在最重元素区域核基态稳定性还进一步增加。因为在Cwicks等人的现有理论描述图象中，强的 ϵ_4 变形是造成这些核稳定性的原因，检验这些核的 ϵ_4 也就成了核谱学的紧迫任务之一。

综合上述实验和理论得到的启示，可以推断用重离子冷熔合反应合成新元素的前景是光明的。

三、用⁶⁴Ni和²⁰⁸Pb熔合反应

合成110的尝试

GSI的Münzenberg等人进行了一系列的重离子冷熔合反应，以便合成超重元素^[6]。他们的最新实验是用⁶⁴Ni和²⁰⁸Pb的冷熔合反应，尝试合成110号元素^[10]。他们曾经分别用⁶⁰Ti、⁵⁴Cr或⁵⁸Fe束辐照²⁰⁸Pb和²⁰⁹Bi然后经In退激，从而系统研究了合成沿N-Z=48链的重元素的截面。他们利用外推法，得到⁶⁴Ni打²⁰⁸Pb生成110号元素的截面估计值是2 Pb。关于重元素截面数值的详细情况如图3所示。使用⁶⁴Ni时库仑垒时的激发能可降低约3到15 MeV。根据他们测到的元素104到107系统研究的激发函数，他们已经预言合成110的截面将增加2至3倍，即是说最终增加到约5 Pb。

他们的具体实验数据和结果简述如下。

他们进行15天实验，其中11天束流打靶，累积束流离子剂量为 10^{13} 。5.06 MeV/u的束流能量适用于15—21 MeV的激发能量范围，后者包括了束流的能散和 $440 \mu\text{g}/\text{cm}^2$ 靶上的能量丢失。他们的实验是在SHIP上完成的，这对自发裂变和相关的 α 衰变是灵敏的。整个装置的性能已用检测反应进行了核实检验。所用的检测反应是用⁶⁴Ni分别打¹⁵⁴Sm和⁹⁸Ru。在UNILAC束流脉冲之间收集到的 α 谱中，他们发现了转移产物²¹¹Po、²¹³Rn和^{212m}Po的衰变，这些产物的表现截面都小于1 nb。他们没有观察到表明是来自重元素同位素的关联 α 衰变。这是令人失望的。对于 $\alpha-\alpha$ 关联的时间窗已经开大到10 s，这至少已经足以收集来自元素110的头三个 α 衰变了。因为预期这头三个 α 衰变物的半衰期都小于1 s。最小的时间窗是3 μs 。

在整个实验期间，他们没有观测到自发裂变衰变。时间下限由通过SHIP的飞行时间确定，而时间上限由实验后的数据获取持续期间确定。它们分别为 $2 \mu\text{s}$ 和 8×10^3 s。

对于一次事件的截面是5 Pb，这相当于95%置信度时的12 Pb。

Münzenberg等人对他们的实验结果进行了讨论分析。根据他们关于最重元素稳定性的最新实验结果，他们排除了下述可能性：紧靠N-Z=48的元素110的同位素因寿

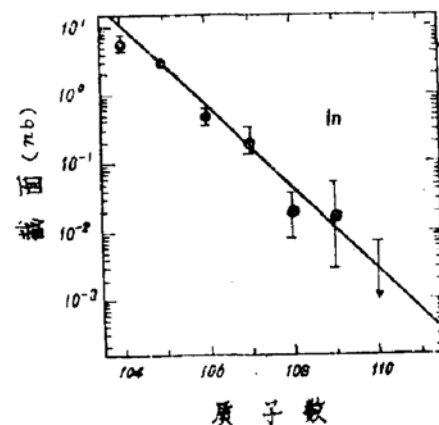


图3. 用Pb、Bi靶经In退激道生成重元素时的截面(图中误差条是68%的置信度造成的)。

命太短，以致用他们的实验装置不能探测。裂变半衰期、甚至奇-奇¹¹⁰同位素在该范围的裂变半衰期都在ms数量级。P. Möller预言²⁷¹J10和²⁷⁰J10的部分 α 衰变半衰期分别为100 ms和40ms。这些预言值和 Münzenberg 等人对元素106得109的同位素得到的实验半衰期值是一致的，在数量级上是相同的。

Münzenberg 等人认为，他们这次尝试没有得到预期的成功，其主要原因是他们实验的灵敏度受到了限制。稀有的炮弹同位素⁶⁴Ni太难得到了，它的天然丰度仅为0.91%。再者束流时间有限，致使反应几率太小，甚至生成截面比他们根据以往实验研究的外推值都要小。尽管如此，Münzenberg 等人并未因此气馁，而是致力于如何改进。

四、用⁴⁰Ar和^{233, 235, 238}U熔合 反应合成110的尝试

在观测冷熔合反应中生成的²⁸⁵108和²⁸⁰²⁸¹106的 α 衰变时，发现它们对自发裂变的出乎意料的稳定性。这个实验发现激励实验核物理学家产生下述想法，那就是说 α 衰变或许在元素110的情况下也是占优势的。尽管 Münzenberg 等人在⁶⁴Ni 和²⁰⁸Pb 熔合反应中的第一次尝试是不成功的，GSI的K. Süümmerer等人仍然希望在 Ar + U 反应中获得成功^[11]。他们希望与 Ni + Pb 的情况相比，Ar + U 在熔合时能够比较有利于消除障碍。另

ER product		decay products			
²³³ U, 3n	²⁷⁰ J10	²⁶⁶ 108	²⁶² 106	²⁶⁸ 104	
		7.3 ms ^a	130 ms ^a	97 ms ^a	13 ms
		10.24 MeV ^b	9.56 MeV ^b	9.38 MeV ^b	sf
²³³ U, 4n	²⁶⁹ J10	²⁶⁵ 108	²⁶¹ 106	²⁵⁷ 104	²⁵³ No ²⁴⁹ Fm
		5.2 ms ^a	1.8 ms ^a	260 ms	4.3 s 1.7 m 2.6 m
		10.44 MeV ^b	10.36 MeV ^b	9.56 MeV... 8.98 MeV...	8.01 MeV 7.53 MeV
²³⁵ U, 3n	²⁷² J10	²⁶⁸ 108	²⁶⁴ 106	²⁶⁸ 104	
		220 ms ^a	5.5 s ^a	7.8 s ^a	21 ms
		9.70 MeV ^b	9.01 MeV ^b	8.76 MeV ^b	sf
²³⁵ U, 4n	²⁷¹ J10	²⁶⁷ 108	²⁶³ 106	²⁵⁹ 104	²⁵⁵ No ²⁵⁵ Md ²⁵⁵ Fm
		200 ms ^a	4.7 s ^a	0.9 s	3 s 3.1 m 27 m 20.1 ...
		9.92 MeV ^b	9.22 MeV ^b	9.06 MeV	8.77 MeV 8.12 MeV 7.33 MeV 7.02 MeV
				9.23 MeV	8.86 MeV
²³⁸ U, 3n	²⁷⁵ J10	²⁷¹ 108	²⁶⁷ 106	²⁶³ 104	²⁵⁹ No ²⁵⁵ Fm
		1.3 ms ^a	30 ms ^a	2.2 d ^a	58 m 20.1 h
		10.9 MeV ^b	8.54 MeV ^b	7.81 MeV ^b	7.50 MeV 7.02 MeV
²³⁸ U, 4n	²⁷⁴ J10	²⁷⁰ 108	²⁶⁶ 106	²⁶² 104	
		5 ms ^a	4.2 ms ^a	12.6 ms ^a	47 ms
		10.3 MeV ^b	8.51 MeV ^b	8.18 MeV ^b	sf

^aPoenaru & Ivascu,

^bLeander et al.,

图4. Ar(U, 3n)和 Ar(U, 4n)道的预期的衰变链。黑框中的核在 Süümmerer 等人的实验中进行了研究。

一方面，在 $\text{Ar} + \text{U}$ 反应中比较不利的Q值导致更高的激发能，其值约40MeV。因此，Sümmerer等人经过深思熟虑之后，权衡利弊，采用了新的实验设计。他们的实验是用能量接近库仑位垒的 ^{40}Ar 轰击 ^{238}U ，并对反应生成的3n和4n蒸发剩余核的子体进行放射化学研究。预期的 α 衰变链汇总在图4中。为了研究这些链的短寿命成员，Sümmerer等人使用了与He-e-KCl喷嘴和旋转收集器飞轮实验，长寿命衰变产物已用离线化学实验进行了研究，典型实验为对厚Be衬底上的 ^{238}U 、 ^{235}U 和 ^{233}U 靶辐照20小时。此后，用反冲收集器化学地分离成多种多样的锕系部分并对 α 衰变和自发裂变进行分析检定。

在这次实验中， α 谱的能量直达9MeV。在该谱中，已知短寿命转移产物和它们的子体产物的活性非常大，以致许多预期的 γ 线都变得模糊不清。根据这些预期， $\text{Ar} + \text{U}$ 蒸发剩余核的灵敏指示是 $^{280}104$ 的自发裂变衰变或 $^{287}108 - ^{283}106$ 的时间关联的 α 事件。 $^{280}104$ 来自 $(^{235}\text{U}, 3n)$ 反应，而 $^{287}108 - ^{283}106$ 来自 $(^{235}\text{U}, 4n)$ 反应。Sümmerer等人用 ^{235}U 靶没有观测到裂变，而用 ^{233}U 靶观测到一次自发裂变事件，其相应的截面极限为0.9nb。用 ^{235}U 靶时，他们观测到9.2—9.06 MeV的 $\alpha - \alpha$ 关联。这些 α 关联的时间分布如图5所示。所有事件都能解释成是随机事件。根据实验结果，他们推断出 $(^{235}\text{U}, 4n)$ 道的上限是0.8nb。

在对元素110同位素的长寿命子体进行研究之前，必须首先证明的是这些核并不是在转移反应中生成的。他们发现超铀同位素的截面在Cf之后非常急剧地减小，以至于Es、Fm和Md同位素的截面只能测出上限。其中也包括 $(^{235}\text{U}, 4n)$ 和 $(^{238}\text{U}, 3n)$ 道、 ^{255}Fm 的子体。由于EC分支， ^{255}Fm 形成几率分别为32.5%和78%。由于没有观测到这个同位素，Sümmerer等人推断： $(^{235}\text{U}, 4n)$ 反应的上限是1.2nb，而 $(^{235}\text{U}, 3n)$ 反应的上限是3.9nb。

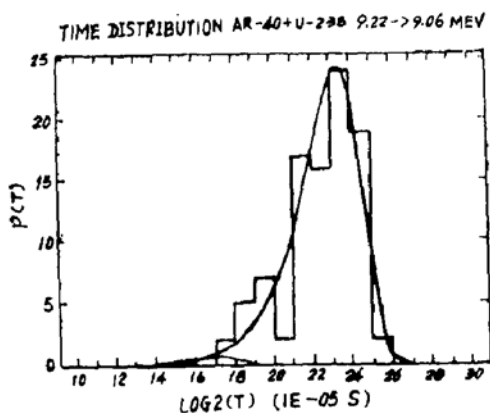


图5

综上所述，尽管Sümmerer等人采用了放射化学分析的新方法，实验结果仍然是不成功的。他们研究短寿命产物，但观测到的事件都能看作是随机事件。他们研究长寿命产物，但又没有观测到关键同位素 ^{255}Fm 。因此，如何成功地证据确凿地合成110，至今仍是一个尚未解决的问题。

五、结论与展望

我们回顾了最近几年的有关实验，发现一些最重的元素对自发裂变有出人意料的稳定性。我们已经观测了当时最重的双偶同位素 $^{280}106$ 的 α 衰变，它和根据锕系裂变半衰期预期值是很不同的。根据 α 衰变的能量计算了基态壳效应，并且表明在元素104之后也会存在壳稳定性。如果有进一步的证据支持这个发现，对于研究超锕系元素将有特别重要的意义。这类核的基态性质，已经进行了毫无疑问的测定。显然，对于 $^{284}108$ 的研究将会给出上述稳定是否向更重元素延伸的重要信息。

Dubna的Oganessian等人在1984年用 ^{58}Fe 辐照 ^{207}Pb ，观测到 $6 \pm 5\text{ ms}$ 的自发裂变活性^[9]。他们推测这是在全熔合反应中形成的 $^{284}108$ ，然后蒸发一个中子，或许再经受 α 衰变。他们假定这个观测到的活性来自基态子体 $^{266}104$ 的衰变，其半衰期是7ms。但这只是推测而已。

$^{264}_{\Lambda}$ 108的真正实验发现，是GSI的Münzenberg等人1986年7月宣布的^[12]。他们使用了和Dubna相同的反应，但所用的方法仍为研究 $^{259-281}$ 106时所用过的方法。他们观测到双偶同位素 108 的一个原子的衰变。他们观测到~~衰变的半衰期为 $76^{+8}_{-6}\mu s$~~ 。该反应中的生成截面实验值为 $8.2^{+6.4}_{-2.6} \text{ pb}$ ，它与Dubna由6 ms自发裂变活性得到的 $\sim 5 \text{ pb}$ 的值并不矛盾，但是此值却明显地小于 4 pb ，后者是由 ^{58}Fe (^{208}Pb , n) 205 108反应的外推得到的。

Münzenberg等人发现 264 108的证据，这是重要的实验进展。他们已经在1982年2月发现了新元素109，人们自然会想到，既然GSI的研究进展离发现新元素110只有一步之遥，那末发现109的殊荣能否落在GSI的头上？Münzenberg等人能否再次荣获举世瞩目的桂冠？

参 考 文 献

1.G. T. Seaborg, Phys. Rev. 85(1952)157

- 2.W. J. Swiatecki, Phys. Rev. 100(1955)937
- 3.A. Ghiorso et al., Phys. Rev. Lett. 33 (1974)1490
- 4.V. A. Druin et al., Sov. J. Nucl. Phys. 29 (1979)591
- 5.G. Münzenberg et al., Z. Phys. A. 322 (1985)227
- 6.A. G. Demin et al., Z. Phys. A315(1984) 197
- 7.S. Cwiek et al., Nucl. Phys. A410(1983)254
- 8.G. Münzenberg et al., Z. Phys. A 315(1984) 145
- 9.Yu. Ts. Oganessian et al., Z. Phys. A319 (1984)215
- 10.G. Münzenberg et al., GSI Scientific Report 1985, P29
- 11.K. Sümmerer et al., GSI Scientific Report 1985, P30
- 12.G. Münzenberg et al., Z. Phys. A324 (1986)489